



تأثیر مشخصات هندسی شمع بر پاسخ لرزه‌ای آن با استفاده از مدل‌سازی عددی غیرخطی سه‌بعدی

سید سجاد هادئی، محمد مهدی احمدی*

دانشکده مهندسی عمران، دانشگاه صنعتی شریف، تهران، ایران.

تاریخچه داوری:

دریافت: ۱۴۰۱/۰۳/۰۲

بازنگری: ۱۴۰۲/۰۲/۱۰

پذیرش: ۱۴۰۲/۰۵/۲۱

ارائه آنلاین: ۱۴۰۲/۰۶/۰۸

کلمات کلیدی:

اندرکنش شمع-خاک رسی

مدل‌سازی عددی سه‌بعدی

رفتار غیرخطی خاک

تحلیل در حوزه زمان

مشخصات هندسی شمع

خلاصه: رفتار سیستم خاک - شمع تحت بار لرزه‌ای، وابسته به عوامل متعددی است. این عوامل را می‌توان به سه دسته اصلی شامل مشخصات هندسی شمع، مشخصات مکانیکی خاک اطراف شمع و نیز ویژگی‌های بارگذاری لرزه‌ای طبقه‌بندی نمود. هدف تحقیق حاضر بررسی تأثیر مشخصات هندسی شمع بر پاسخ سیستم خاک-شمug با در نظر گرفتن رفتار غیرخطی محیط خاک تحت بار لرزه‌ای است. بدین منظور، مطالعه عددی سه‌بعدی کاملاً غیرخطی در حوزه زمان با استفاده از نرم‌افزار تفاضل محدود FLAC^{3D} صورت گرفت. تمرکز مقاله حاضر بر روی پاسخ دینامیکی شمع شناور منفرد مدفون در خاک رسی بوده و مطالعه پارامتریک برای بررسی تأثیر مشخصات هندسی شمع در پاسخ آن صورت گرفته است. به منظور در نظر گرفتن رفتار غیرخطی خاک تحت بار لرزه‌ای، مدل رفتاری الاستوپلاستیک برای محیط خاک اعمال شد و هم‌چنین با اعمال تابع کاهش مدول برشی خاک با افزایش کرنش برشی، کاهش سختی خاک تحت بار لرزه‌ای شبیه‌سازی شد. نتایج این تحقیق نشان دادند که با افزایش قطر شمع، مقدار لنگر خمشی بیشینه ایجاد شده در شمع تحت بار لرزه‌ای به صورت قابل توجهی افزایش می‌یابد و این افزایش متناسب با توانی از قطر شمع است. هم‌چنین بررسی نتایج آنالیزهای عددی صورت گرفته نشان داد که تاثیر طول شمع بر بیشینه لنگر خمشی ایجاد شده در شمع چندان قابل توجه نیست؛ اما پارامتر طول شمع تاثیر قابل توجهی بر شکل دیاگرام توزیع لنگر خمشی در شمع و نیز مکان رخداد لنگر خمشی بیشینه دارد.

۱- مقدمه

در سال‌های اخیر اندرکنش سینماتیکی بین شمع و خاک با تحقیقات آزمایشگاهی، بررسی‌های تحلیلی^۱ و مطالعات عددی مورد بررسی قرار گرفته‌اند. مطالعات عددی به دلیل امکان انجام تعداد زیاد شبیه‌سازی‌ها برای بررسی تأثیر عوامل مختلف در رفتار دینامیکی شمع‌ها یک ابزار کارآمد در مطالعه این موضوع می‌باشد.

بخش بزرگی از مطالعات عددی صورت گرفته در موضوع اندرکنش خاک و شمع، رفتار شمع را در زمین‌های روانگراشونده^۲ بررسی نموده‌اند [۱۰-۳]. بخش عمده‌ای از مطالعات عددی صورت گرفته در موضوع پاسخ دینامیکی سیستم خاک-شمug در خاک‌های غیر روانگرا، در حوزه فرکانس^۷ صورت گرفته و یا از مدل‌های ساده مبتنی بر روش تیر روی فونداسیون دینامیکی وینکلر^۸ (BDWF) و یا سایر فرضیات ساده‌کننده استفاده نموده‌اند [۱۱-۱۷]. رویکردهای نسبتاً ساده شده در این دسته از مطالعات علی‌رغم این که می‌تواند به عنوان یک مزیت برای آن‌ها به

5 Analytical Analyses

6 Liquefiable

7 Frequency Domain

8 Beam on Dynamic Winkler Foundation

پاسخ دینامیکی فونداسیون‌های عمیق به علت ماهیت پیچیده و عوامل متعدد تأثیرگذار بر آن، موضوعی پیچیده و بحث‌برانگیز در مهندسی زلزله‌کنیک لرزه‌ای محسوب می‌گردد. در جین زلزله، اندرکنش سینماتیکی^۱ ناشی از جابجایی‌های خاک در اطراف شمع (بدون توجه به حضور روسازه) و اندرکنش اینرسیال^۲ در اثر ارتعاش روسازه، منجر به اعمال بار دینامیکی به شمع‌ها می‌گردد. برخی از تحقیقات نشان داده که تحت زلزله‌های شدید مانند زلزله کوبه^۳ و چی‌چی^۴، ۱۹۹۹، برخلاف باور رایج، اندرکنش سینماتیکی رخ داده بین شمع و خاک اطراف، نقش اساسی در خرابی شمع‌ها داشت [۲۰]. بنابراین، درک اندرکنش سینماتیکی بین شمع و خاک و عوامل موثر بر آن، در طراحی شمع‌ها در برابر بارهای لرزه‌ای اهمیت فراوان دارد.

1 kinematic interaction

2 Inertial interaction

3 Kobe

4 Chi Chi

* نویسنده عهده‌دار مکاتبات: mmahmadi@sharif.edu

حقوق مؤلفین به نویسنده‌گان و حقوق ناشر به انتشارات دانشگاه امیرکبیر داده شده است. این مقاله تحت لیسانس آفرینندگی مردمی (Creative Commons License) در دسترس شما قرار گرفته است. برای جزئیات این لیسانس، از آدرس <https://www.creativecommons.org/licenses/by-nc/4.0/legalcode> دیدن فرمائید.



در این مطالعه برای محیط خاک مدل رفتاری سطح منفرد سلسله مراتبی^{۱۱} (HiSS) در نظر گرفته شد. نتایج این تحقیق نشان داد رفتار پلاستیک محیط خاک، تاثیر قابل توجهی بر اختلاف تحریک ورودی از سنگ بستر و تحریک محاسبه شده در تراز سرشع مع دارد. ماهشواری^{۱۲} و همکاران [۲۲، ۲۳] نیز با استفاده از روش المان محدود سه بعدی و در نظر گرفتن مدل رفتاری HiSS برای محیط خاک، تاثیر رفتار پلاستیک خاک را بر تابع امپدانس^{۱۳} سیستم خاک-شمع، پاسخ میدان آزاد^{۱۴} و پاسخ سرشع برای شمع های منفرد و گروه شمع ها بررسی نمودند. نتایج مطالعات آن ها نشان داد که رفتار پلاستیک خاک به ویژه در پاسخ سیستم های خاک-شمع با فرکانس بدون بعد^{۱۵} ($a_0 = \omega d/V$) پایین قابل توجه است. احمدی و همکاران [۲۴] با استفاده از روش تفاضل محدود^{۱۶} سه بعدی و اعمال مدل رفتاری نرم شونده برای خاک رفتار سیستم خاک-شمع و برخی عوامل موثر بر پاسخ آن را بررسی نمودند. نتایج مطالعات آن ها نیز تصریح نمود که در نظر گرفتن رفتار غیرخطی برای خاک، تاثیر قابل توجهی بر پاسخ محاسبه شده برای سیستم خاک-شمع دارد. بررسی نتایج تحقیقات اندکی که پاسخ دینامیکی سیستم خاک-شمع را با در نظر گرفتن رفتار غیرخطی خاک مطالعه نموده اند نشان می دهد که مطالعه دقیق تر اندرکنش سینماتیکی رخ داده بین شمع و خاک اطراف مستلزم در نظر گرفتن رفتار غیرخطی خاک تحت بارهای دینامیکی است.

مرور مطالعات صورت گرفته در موضوع اندرکنش خاک-شمع نشان می دهد که تعداد تحقیقاتی که این موضوع را با روش های مبتنی بر مکانیک محیط های پیوسته به صورت سه بعدی و کاملاً غیرخطی در حوزه زمان بررسی کرده اند، اندک هستند. این مطالعات اندک نیز به لنگر خمی ایجاد شده در شمع تحت بار لرزه ای، به عنوان یکی از اصلی ترین پارامترهای طراحی شمع در مناطق لرزه خیز، توجه کافی نشان نداده اند و تاثیر عوامل مختلف بر آن را در قالب یک مطالعه پارامتریک^{۱۷} بررسی ننموده اند.

هدف مقاله حاضر بررسی تاثیر مشخصات هندسی شمع بر پاسخ سیستم خاک-شمع با در نظر گرفتن رفتار غیرخطی محیط خاک است. بدین منظور، مطالعه عددی سه بعدی کاملاً غیرخطی در حوزه زمان با استفاده از نرم افزار تفاضل محدود FLAC^{3D} صورت گرفت. تمرکز مقاله حاضر بر روی توزیع

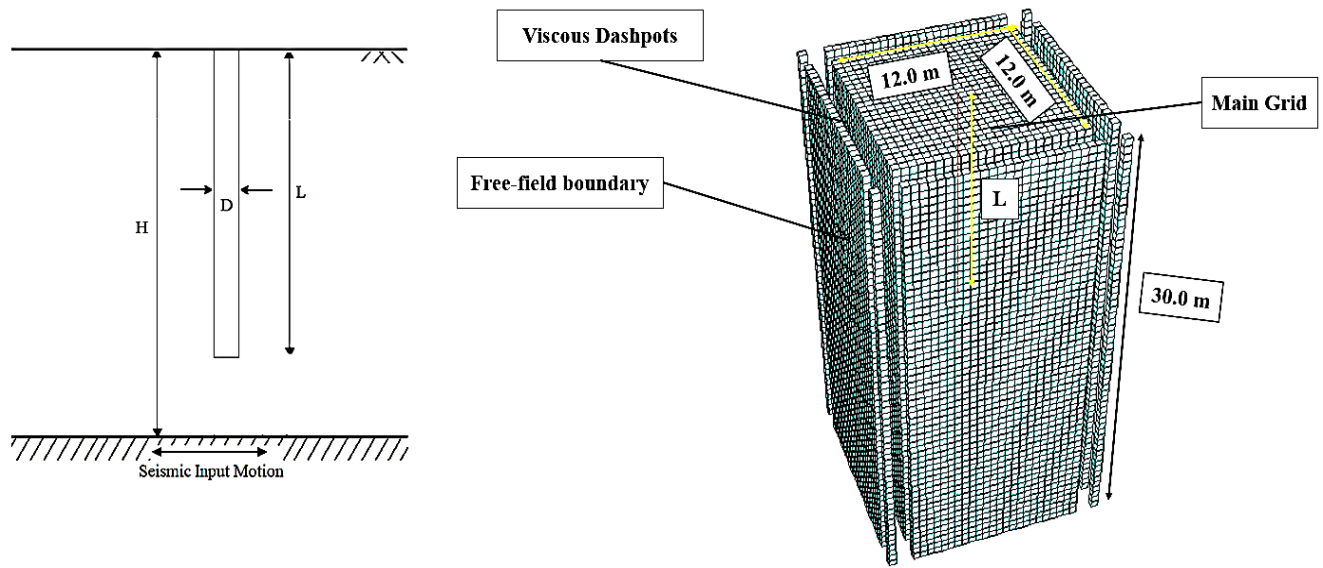
شمار آید، اما همراه با محدودیت هایی هستند. رفتار خاک تحت کرنش های متوسط و بزرگ به صورت غیرخطی است، در حالی که در مطالعات صورت گرفته در حوزه فرکانس به دلیل استفاده از اصل برهمنهی^{۱۸}، رفتار خاک به صورت الاستیک و یا ویسکوالاستیک^{۱۹} در نظر گرفته می شود. در رویکرد BDWF شمع به صورت تیر و خاک اطراف ان به صورت آرایه ای از فنرها و میراگرهای مجزا شبیه سازی شده و مدل رفتاری الاستیک خطی و یا منحنی های غیرخطی تجربی y-p برای رفتار بار-تغییر شکل این فنرها می تواند در نظر گرفته شود. به دلیل شبیه سازی خاک با فنرها و میراگرهای مجزا، توزیع پیوسته تنفس و تغییر شکل در محیط خاک در رویکرد BDWF نمی تواند مدل شود و این موضوع می تواند منجر به نتایج غیر دقیق گردد. بنابراین به منظور درک بهتر رفتار سیستم خاک-شمع تحت بار لرزه ای، شبیه سازی های دقیق تر با استفاده از روش های مبتنی بر مکانیک محیط های پیوسته^{۲۰} و در نظر گرفتن رفتار غیرخطی خاک مورد نیاز است.

دقیق ترین روش برای مطالعه پاسخ شمع و سازه های متکی به فونداسیون های شمعی به بارهای لرزه ای، استفاده از رویکرد کاملاً غیرخطی^{۲۱} در حوزه زمان^{۲۲} است که بار دینامیکی به صورت تاریخ چه زمانی به مدل مورد بررسی اعمال شده و رفتار غیرخطی خاک در مدل رفتاری تخصیص یافته به محیط خاک در نظر گرفته شود. با اینحال به دلیل پیچیدگی فراوان و هزینه محاسباتی بسیار بالا، تنها تعداد اندکی از مطالعات عددی با این رویکرد انجام شده اند. از میان این مطالعات اندک نیز، تعدادی از پژوهش های صورت گرفته بر روی پاسخ روسازه تمرکز کرده و رفتار لرزه ای شمع در سیستم خاک-شمع-سازه مورد توجه قرار نگرفته است [۱۸، ۱۹].

بنتلی و ال نگار^{۲۰} با استفاده از روش المان محدود^{۲۱} سه بعدی و در نظر گرفتن مدل رفتاری دراکر-پراگر^{۲۲} برای شبیه سازی رفتار غیرخطی خاک، تاثیر اندرکنش سینماتیکی را بر تحریک اعمال شده بر سازه در تراز کف فونداسیون^{۲۳} بررسی کرند. کای^{۲۴} و همکاران [۲۱] با استفاده از روش المان محدود سه بعدی اندرکنش سیستم خاک-شمع را مورد مطالعه قرار دادند.

-
- | | |
|----|--------------------------|
| 1 | Superposition |
| 2 | Viscoelastic |
| 3 | Continuum Mechanics |
| 4 | Fully Nonlinear Approach |
| 5 | Time Domain |
| 6 | Bentley and Al Naggar |
| 7 | Finite Element Method |
| 8 | Drucker-Prager |
| 9 | Foundation Input Motion |
| 10 | Cai |

11 Hierarchical Single Surface
12 Maheshwari
13 Impedance
14 Free-Field
15 Dimensionless Frequency
16 Finite Difference Method
17 Parametric Study



شکل ۱. مقطع شماتیک و مدل سه بعدی مطالعه حاضر

Fig. 1. Schematic view and the three-dimensional model developed in this study

می باشد. ابعاد افقی مدل بر اساس نتایج آنالیزهای حساسیت‌سنجی انتخاب شد. نتایج آنالیزهای حساسیت‌سنجی نشان دادند که اگر طول و عرض مدل برابر با ۱۲ متر انتخاب شود، نتایج حاصل از مدل سازی عددی (مانند لنگر خمی شمع، جایجاپی شمع و ...) تحت تاثیر مرزهای مدل نخواهد بود. عمدۀ بزرگنمایی‌های^۳ رخ داده در تحریک ورودی از سنگ بستر^۴، در محدوده ۳۰ متر بالایی پروفیل زیرسطحی زمین اتفاق می‌افتد و در اکثر آئینه‌های لرزه‌ای، اثرات ساختگاه^۵، بر اساس مشخصات خاک در این محدوده تعیین می‌گردد. با توجه به این موضوع و همچنین اجتناب از آنالیزهای با هزینه محاسباتی بسیار بالاتر، عمق مدل در این پژوهش برابر با ۳۰ متر انتخاب شد. کولمیر و لايسمر^۶ توصیه نمودند که برای مدل سازی صحیح انتشار امواج لرزه‌ای، ابعاد المان‌ها باید حداقل یک دهم الى یک هشتتم طول تحریک اعمال شده به مدل باشد^[۲۵]. با توجه به مشخصات انتخاب شده برای خاک در مطالعه حاضر (که در سطرهای بعدی تشریح خواهد شد)، کوتاهترین طول موج ایجاد شده در دامنه مساله تقریباً برابر با ۷۰ متر خواهد بود. لذا، بر اساس توصیه کولمیر و لايسمر باید اندازه المان‌ها حتماً از ۰,۹ متر کوچک‌تر باشد. البته در پژوهش حاضر، کاهش سختی خاک با کرنش برشی نیز در نظر

لنگر خمی در طول شمع شناور^۱ منفرد مدفون در خاک رسی بوده و مطالعه پارامتریک برای بررسی تاثیر قطر شمع و طول شمع در پاسخ آن صورت گرفته است. بدین ترتیب نوآوری‌هایی به شرح زیر را برای تحقیق حاضر می‌توان برشمودر: ۱. بررسی موضوع اندرکنش خاک و شمع با انجام آنالیزهای عددی سه‌بعدی کاملاً غیرخطی در حوزه زمان. ۲. تمرکز بر روی بررسی توزیع لنگر خمی ایجاد شده در طول شمع (و نه صرفاً لنگر خمی بیشینه) تحت بار لرزه‌ای به عنوان یکی از کلیدی‌ترین پارامترهای طراحی شمع.^۲ ۳. مطالعه پارامتریک برای بررسی تاثیر مشخصات هندسی شمع بر توزیع لنگر خمی ایجاد شده در شمع. ۴. در نظر گرفتن مشخصات سختی و مقاومتی خاک به صورت متغیر با عمق

-۲- مدل سازی عددی

شکل شماتیک مدل مورد بررسی و نیز مدل سه‌بعدی ایجاد شده با نرم‌افزار FLAC^{۳D} در شکل ۱ نشان داده شده است. یک شمع منفرد با طول L و قطر D که در یک لایه رسی مدفون است، مدل سازی شده است. محیط خاک با استفاده از المان‌های مکعبی هشت گرهی شبیه‌سازی شده که هر گره دارای سه درجه آزادی انتقالی^۲ (در راستای X , Y و Z)

3 Amplifications

4 Bedrock Motion

5 Site Effects

6 Kuhlemeyer and Lysmer

1 Floating

2 Translational Degree of Freedom

جدول ۱. مشخصات در نظر گرفته شده برای خاک در مطالعه حاضر

Table 1. Adopted properties for soil in analyses performed in this study

| | |
|---------------------|-----------------------------------|
| ۳۰ | عمق لایه خاک (متر) |
| ۱۸ | وزن مخصوص (کیلونیوتن بر مترمکعب) |
| ۰/۴۵ | ضریب پواسون خاک |
| نسبت مقاومت خاک | |
| ۰/۳ | $(\alpha = \frac{c_u}{\sigma_v})$ |
| نسبت سختی اولیه خاک | |
| ۱۵۰ | $(\beta = \frac{E}{c_u})$ |

می‌کند، مورد مطالعه قرار نگرفته است. از طرف دیگر در خاک‌های رسی، مشخصات مقاومت و سختی خاک رسی با عمق تغییر می‌کنند [۲۶]. بنابراین، در مطالعه حاضر، به منظور شبیه‌سازی دقیق‌تر شرایط خاک رسی، مشخصات خاک رسی به صورت متغیر با عمق در نظر گرفته شد. در آنالیزهای عددی صورت گرفته در مطالعه حاضر، چسبندگی خاک رسی به صورت خطی با عمق (سطح تنفس) افزایش می‌یابد و همچنین مدول الاستیسیته خاک به صورت خطی با چسبندگی خاک افزایش می‌یابد. مشخصات در نظر گرفته شده برای خاک رسی در آنالیزهای عددی صورت گرفته در این مطالعه، در جدول ۱ آمده است.

رفتار خاک تنها در محدوده کرنش‌های برشی کوچک (کمتر از ۰/۰۰۱٪)

گرفته شده است (که در سطرهای بعدی تشریح خواهد شد); بنابراین، ممکن است مشاهای با اندازه ۹۰ متر برای بررسی رفتار دینامیکی سیستم در حین اعمال بار لرزه‌ای مناسب نباشند. لذا، به منظور تعیین ابعاد مناسب المان‌ها که بتواند انتشار موج را به درستی در دامنه مدل شبیه‌سازی کند، آنالیزهای حساسیت‌سنجی انجام شد. بر اساس نتایج آنالیزهای حساسیت‌سنجی، ابعاد المان‌ها برابر با ۰,۵۵×۰,۵۵ متر انتخاب شد. بدین ترتیب بلوک خاک مدل شده، شامل حدود ۳۴۵۰۰ المان و ۳۸۰۰۰ گره می‌باشد.

تقریباً در تمام مطالعات صورت گرفته در حوزه اندرکش دینامیکی شمع و خاک، پروفیل خاک به صورت یکنواخت و یا دولایه در نظر گرفته شده و رفتار لرزه‌ای شمع در پروفیل‌های خاکی که مشخصات آن‌ها در عمق تغییر

نمودن میرایی به مدل عددی، مفهوم میرایی هیسترتیک (و نه میرایی دایلی) به کار رفته است. به عبارت دیگر، در این پژوهش، کاهش مدول خاک و افزایش در اثر افزایش میرایی کرنش بر Shi در نظر گرفته شده است. کاهش مدول بر Shi المان‌های خاک با افزایش کرنش بر Shi در مطالعه حاضر، بر اساس تابع نشان داده شده در شکل ۲ (الف) مورد نظر قرار گرفته است. این تابع توسط سان^۴ و همکاران [۲۸] براساس نتایج تحقیقات آزمایشگاهی صورت گرفته برای کاهش مدول بر Shi خاک‌های رسی تحت بار تناوبی، پیشنهاد شده است. با اضافه نمودن یک برنامه به نرم‌افزار FLAC، یک رابطه نموی بر اساس تابع رسم شده در شکل ۲ (الف) استخراج شد که در هر گام زمانی، برای هر المان، دامنه کرنش بر Shi را محاسبه نموده و مقدار مدول بر Shi متناظر با آن دامنه کرنش بر Shi را بر اساس تابع معرفی شده در شکل ۲ (الف) به آن المان تخصیص می‌دهد. منحنی تغییرات نسبت میرایی با کرنش که بر اساس روند تشریح شده در بالا به دست می‌آید، در شکل ۲ (ب) رسم شده است. در واقع، بر اساس این منحنی، میرایی هیسترتیک در هر گام زمانی به هر المان خاک بر اساس دامنه کرنش بر Shi آن اعمال می‌شود.

بدین ترتیب در آتالیزهای عددی صورت گرفته در این پژوهش، هم رفتار پلاستیک خاک و هم استهلاک انرژی رخ داده در محیط خاک در اثر بارگذاری دینامیکی شبیه‌سازی شده است.

شمع قائم منفرد در مرکز مدل قرار داشته و تمام طول شمع در لایه خاک مدفون شده است. سر شمع به صورت گیردار^۵ مدل شده‌اند؛ به عبارت دیگر سر شمع امکان چرخش^۶ در راستای X و Z را ندارد، اما در برابر جابجایی انتقالی در هیچ کدام از سه راستای X و Z محدود نشده است. همچنین با توجه به این که در این مطالعه، نوک شمع به درون یک لایه سخت نفوذ نمی‌کند، شمع اصطکاکی فرض می‌شود. لذا، نوک شمع (انتهای شمع) به صورت آزاد مدل می‌شود.

شمع‌ها با استفاده از المان‌های خمثی دو گرهی مدل‌سازی شدند. المان خمثی یک قطعه مستقیم با دو گره ابتدایی و انتهایی و خصوصیات یکنواخت در طول قطعه می‌باشد. هر گره المان خمثی، سه درجه آزادی انتقالی و سه درجه آزادی چرخشی^۷ دارد. المان خمثی دارای سختی خمثی، بر Shi و محوری بوده و لذا قابلیت باربری خمثی، بر Shi و محوری را دارد. در

می‌تواند به صورت الاستیک در نظر گرفته شود. تحت اثر زلزله‌های با شدت متوسط و بزرگ، کرنش بر Shi ایجاد شده در خاک از محدوده کرنش‌های کوچک فراتر می‌رود و لذا رفتار خاک تحت این زلزله‌ها، غیرخطی می‌باشد. همان‌گونه که در بخش مقدمه ذکر شد، نتایج تحقیقات پیشین نظری تحقیق صورت گرفته توسط ماهشواری و همکاران [۲۲، ۲۳]، احمدی و همکاران [۲۴]، موسی‌سیارو و سیکا^۱ [۲۷] نشان داده که در نظر گرفتن رفتار غیرخطی خاک، در مطالعه دقیق‌تر پاسخ دینامیکی شمع در سیستم خاک-شمع حائز اهمیت است. بنابراین در مطالعه حاضر رفتار غیرخطی خاک در نظر گرفته شد.

در مطالعه حاضر، به منظور در نظر گرفتن رفتار غیرخطی خاک، یک مدل رفتاری الاستوپلاستیک برای خاک در نظر گرفته شد. همچنین میرایی هیسترتیک خاک با شبیه‌سازی تغییرات و استهله به کرنش مدول و میرایی، به صورت مستقیم به مدل عددی اضافه شد. بنابراین مدل عددی توسعه‌یافته در مطالعه حاضر می‌تواند پاسخ هیسترتیک و پلاستیک خاک تحت بار تناوبی را شبیه‌سازی نماید.

خاک رسی مورد بررسی در مطالعه حاضر، با اعمال مدل رفتاری الاستوپلاستیک^۲ موهر-کولمب (M-C) به آن، به صورت یک ماده الاستوپلاستیک در نظر گرفته شد. مدل الاستوپلاستیک موهر-کولمب، که در آن تنفس تسلیم به تنش‌های اصلی بزرگ‌تر (σ_1) و کوچک‌تر (σ_3) وابسته است، یک مدل رفتاری مناسب برای مصالح خاکی که تحت بارهای بر Shi تسلیم می‌شوند، می‌باشد. این مدل رفتاری از نظر محاسباتی کارآمد بوده و نیازمند پارامترهای زیاد برای توصیف رفتار خاک نمی‌باشد؛ به همین دلیل از پرکاربردترین مدل‌های رفتاری در مدل‌سازی‌های عددی صورت گرفته در حوزه مهندسی ژئوتکنیک می‌باشد.

خاک‌های طبیعی تحت بارهای دینامیکی همواره درجاتی از میرایی از خود نشان می‌دهند. عمدۀ دلیل وجود میرایی در مصالح خاکی، لغزش دانه‌ها بر روی هم‌دیگر می‌باشد؛ به همین دلیل ماهیت میرایی مصالح خاکی هیسترتیک و مستقل از فرکانس می‌باشد. بسیاری از مدل‌های رفتاری، از جمله مدل رفتاری موهر-کولمب، نمی‌توانند میرایی هیسترتیک ایجاد شده در مصالح خاکی را به درستی شبیه‌سازی نمایند. بنابراین در صورت شبیه‌سازی رفتار خاک تحت بارهای لرزه‌ای با چنین مدل‌های رفتاری، افزودن یک میرایی مکمل به مدل عددی ضروری است. در مطالعه حاضر، در اضافه

4 Sun

5 Fixed Head

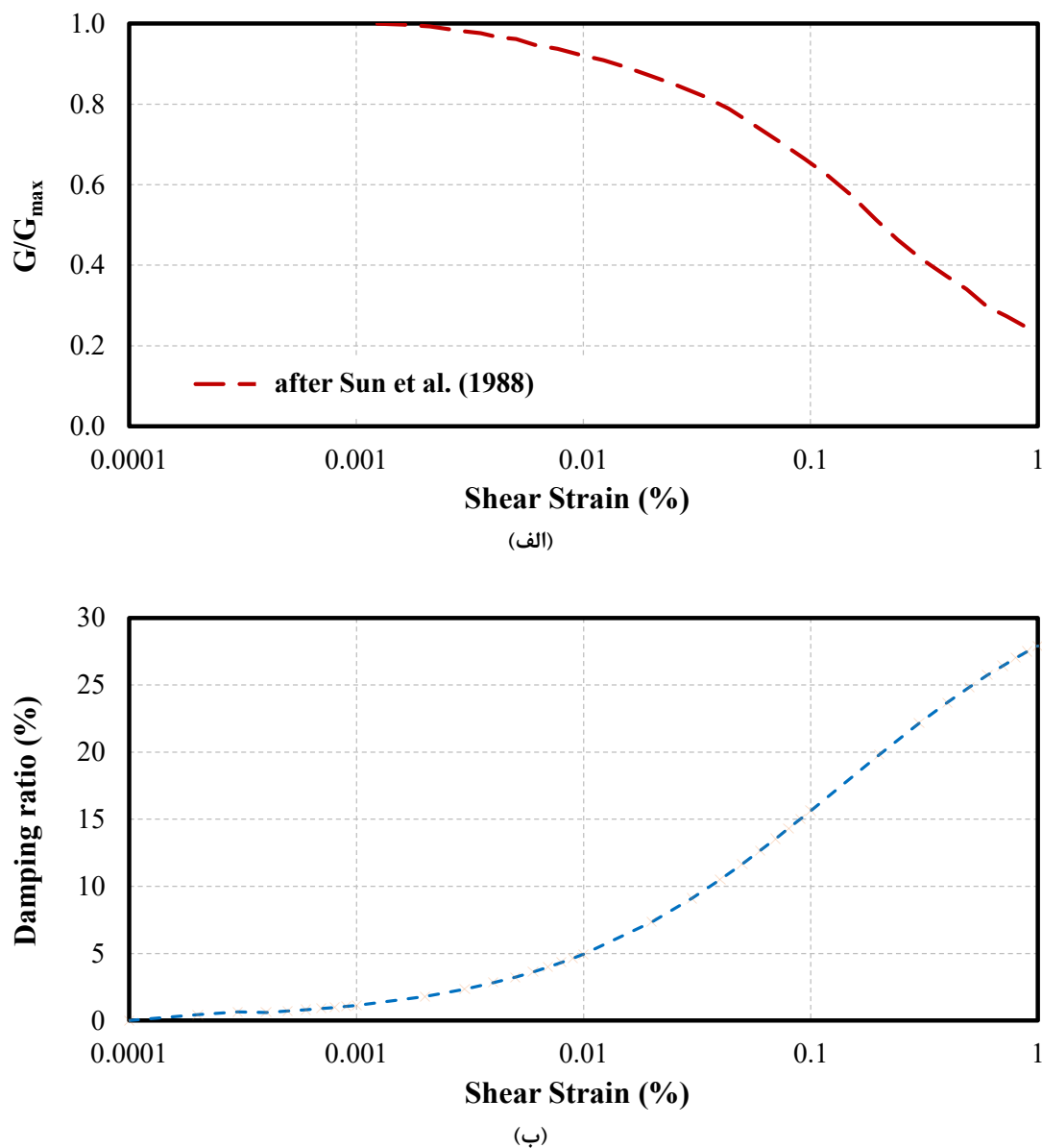
6 Rotation

7 Rotational Degree of Freedom

1 Mucciacciaro and Sica

2 Elastoplastic

3 Mohr-Coulomb



شکل ۲. منحنی‌های کاهش در نظر گرفته شده برای خاک رسی با افزایش کرنش برشی (بر اساس نتایج تحقیقات سان و همکاران [۲۸])
(الف) تغییرات مدول برشی با دامنه کرنش برشی، و (ب) تغییرات میرایی با دامنه کرنش برشی

Fig. 2. Adopted degradation curves for the clayey soil (after Sun et al. [28]) (a) Shear modulus reduction with shear strain (b) Damping ratio variation shear strain

تحت زلزله، رفتار شمع‌های زیر روسازه بدون توجه به درجه خرابی خود روسازه باید در محدوده الاستیک باقی بمانند. دلیل این امر آن است که تشخیص موضع خرابی شمع و نیز تعمیر آن و بازگرداندن شمع آسیب دیده به حالت بهره‌برداری بسیار دشوار است. به همین دلیل در تحقیق حاضر، رفتار شمع به صورت الاستیک در نظر گرفته شده است. در مطالعه پارامتریک انجام شده در پژوهش حاضر، سه مقدار متفاوت

پژوهش حاضر طول هر المان خمثی ۵/۰ متر (برابر با ابعاد المان‌های حجمی) در نظر گرفته شده است. دلیل این که برای مدل‌سازی شمع از المان‌های خمثی استفاده شد، این است که آنالیزهای عددی صورت گرفته در قالب این پژوهش، نشان دادند که المان‌های خمثی بهتر از المان‌های حجمی، رفتار خمثی شمع تحت بار لرزه‌ای را می‌توانند شبیه‌سازی نمایند. بسیاری از آئین‌نامه‌های لرزه‌ای مانند Eurocode اذعان می‌دارند که

جدول ۲. مشخصات هندسی و مکانیکی در نظر گرفته شده برای شمع‌ها در مطالعه حاضر

Table 2. Geometrical and mechanical properties of piles adopted in this study

| ضریب پواسون | ۰/۱۵ | مشخصات هندسی و مکانیکی شمع |
|---------------------------|------|----------------------------------|
| مدول الاستیک (گیگاپاسکال) | ۲۰ | وزن مخصوص (کیلونیوتن بر مترمکعب) |
| طول شمع (متر) | ۱۵ | ۲۴ |
| قطر شمع (متر) | ۰/۱۸ | ۱/۰ |
| ۱/۲ | ۱/۰ | ۱/۲ |
| ۱۰ | ۰/۱۸ | ۰/۵ |
| | | |

احتمالی بین شمع و خاک اطراف در اثر اعمال بار لرزه‌ای نیز در نظر گرفته شده است.

در آنالیزهای دینامیکی انجام شده، به منظور شبیه‌سازی میرایی هندسی^۲ موجود در محیط نیمه‌بینهایت خاک، از مرزهای میدان آزاد^۳ برای سطوح جانبی مدل استفاده شد. در این شرایط مرزی، سطوح جانبی ناحیه اصلی مدل^۴(که در شکل ۱ نشان داده است) به وسیله میراگرهای ویسکوز^۵ به گرههای میدان آزاد متصل شده و بدین ترتیب نیروهای نامتعادل^۶ ایجاد شده در گرههای میدان آزاد به سطوح جانبی ناحیه اصلی مدل اعمال می‌شود. اعمال این شرایط مرزی منجر به کاهش قابل توجه انعکاس امواج لرزه‌ای^۷ از مرزهای مدل می‌گردد.

برای طول شمع و چهار مقدار متفاوت برای قطر شمع در نظر گرفته شده است تا تأثیر مشخصات هندسی شمع بر پاسخ آن مورد بررسی قرار گیرد.

مشخصات هندسی و مکانیکی شمع‌ها در جدول ۲ آمده است.

اتصال شمع به محیط، از طریق المان‌های حدفاصل^۸ نرم‌مال (عمود بر محور شمع) و برشی (موازی با محور شمع) صورت می‌گیرد. المان‌های حدفاصل فنرهای غیرخطی هستند که اتصال بین گرههای شمع و گرههای خاک اطراف را برقرار می‌کنند. این فنرهای اتصالی باید به گونه‌ای عمل کنند که در اثر اعمال بار و ایجاد نیرو در داخل شمع، جاری نشوند. در غیر این صورت روند بارگذاری و افزایش بار در همان مقدار نیروی ایجاد شده متوقف شده و نیروی مقاومی از سوی خاک در برابر شمع احساس نمی‌شود. میزان سختی فنر اتصالی طبق پیشنهاد نرم‌افزار، ضریبی از $K = \frac{4}{\Delta Z_{min}} G^{\frac{3}{4}}$ می‌باشد که G مدول بالک (حجمی) المان خاک مجاور المان حدفاصل، ΔZ_{min} اندازه کوچکترین بعد المان خاک اطراف المان حدفاصل و 1 Interface

2 Radiational Damping

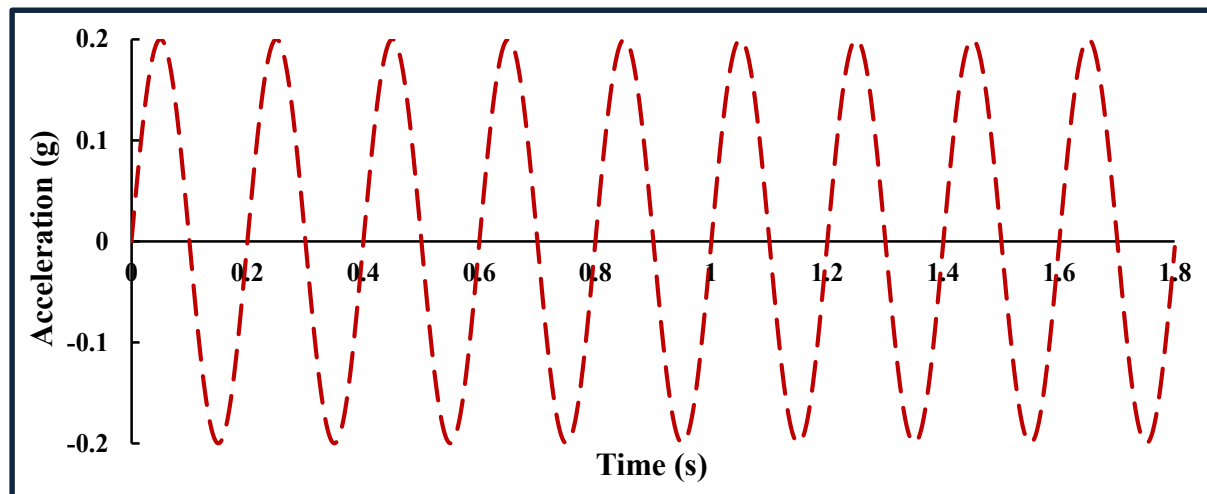
3 Free-Field Boundary

4 Main Grid

5 Viscous Dashpots

6 Unbalanced Force

7 Seismic Wave Reflection



شکل ۳. تحریک اعمال شده به کف مدل در مطالعه حاضر

Fig. 3. Input motion applied to the model base in this study

آزاد زمین و پاسخ سرشمع تحت بار لرزه‌ای هارمونیک با فرکانس‌های مختلف را مورد بررسی قرار دادند. در مطالعه آنان برای خاک مدل رفتاری الاستوپلاستیک HiSS (سطح منفرد سلسله‌مراتبی) در نظر گرفته شد. به منظور انجام آنالیزهای حساسیت‌سنجدی، تاریخچه‌های زمانی شتاب هارمونیک با فرکانس‌های مختلف به عنوان تحریک ورودی به کف مدل اعمال شد.

در آنالیزهای صحبت‌سنجدی، مقادیر در نظر گرفته شده برای مشخصات فیزیکی و مکانیکی محیط خاک و شمع، منطبق با مقادیر در نظر گرفته شده توسط ماهشواری و همکاران بوده که در جدول ۳ آمده است. تاریخچه‌های زمانی شتاب هارمونیک اعمال شده به کف مدل دارای دامنه یک متر بر محدوده ثانیه بود.

در شکل ۴ و شکل ۵ نتایج حاصل از مدل‌سازی‌های صورت گرفته در پژوهش حاضر و نتایج به دست آمده توسط ماهشواری و همکاران در قالب نمودارهای تعییرات U_p/U_0 و U_g/U_0 با فرکانس بدون بعد $(a_0 = \omega d/V_s)$ ، مقایسه شده‌اند. در این دو شکل، U_0 ، U_g و U_p به ترتیب، دامنه جابجایی سنگ بستر، جابجایی میدان آزاد زمین و جابجایی سرشمع بوده و همچنین فرکانس زاویه‌ای^۱ بارگذاری، d قطر شمع و V_s سرعت موج برشی را در محیط خاکی نشان می‌دهد.

تاریخچه زمانی^۲ شتاب هارمونیک سینوسی شامل ۹ سیکل با فرکانس ۵ هرتز و دامنه ۰،۲۵^۳ نشان داده شده است، به عنوان تحریک ورودی^۴ افقی به کف مدل اعمال شد. بر اساس نمودار ارئه شده توسط سید ادریس^۵ (۱۹۷۵)، این تعداد سیکل معادل با زلزله‌ای با بزرگای ممان^۶ $M_w = 7.0$ است [۲۹].

لازم به ذکر است که در مطالعه حاضر، از شتاب قائم صرف نظر شده است. دلیل این امر آن است که خرابی اطمینان به کار رفته در طراحی استاتیکی المان‌های سازه‌ای، معمولاً مقاومت مناسبی را در برابر نیروهای دینامیکی ناشی از مولفه قائم زلزله فراهم می‌نماید.

۳- صحبت‌سنجدی^۷ مدل عددی

به منظور اطمینان از کارایی مدل عددی ایجاد شده در مطالعه حاضر برای مطالعه اندرکنش سینماتیکی بین خاک و شمع، سیستم خاک - شمع بررسی شده توسط ماهشواری و همکاران [۲۲]، با استفاده از مدل عددی ایجاد شده در پژوهش حاضر مورد مطالعه قرار گرفته و نتایج به دست آمده از مدل‌سازی حاضر با نتایج حاصل از تحقیق آنان، مقایسه شدند. ماهشواری و همکاران با مدل‌سازی عددی سه‌بعدی، پاسخ میدان

1 Time History

2 Input Motion

3 Seed and Idriss

4 Moment Magnitude

5 Verification

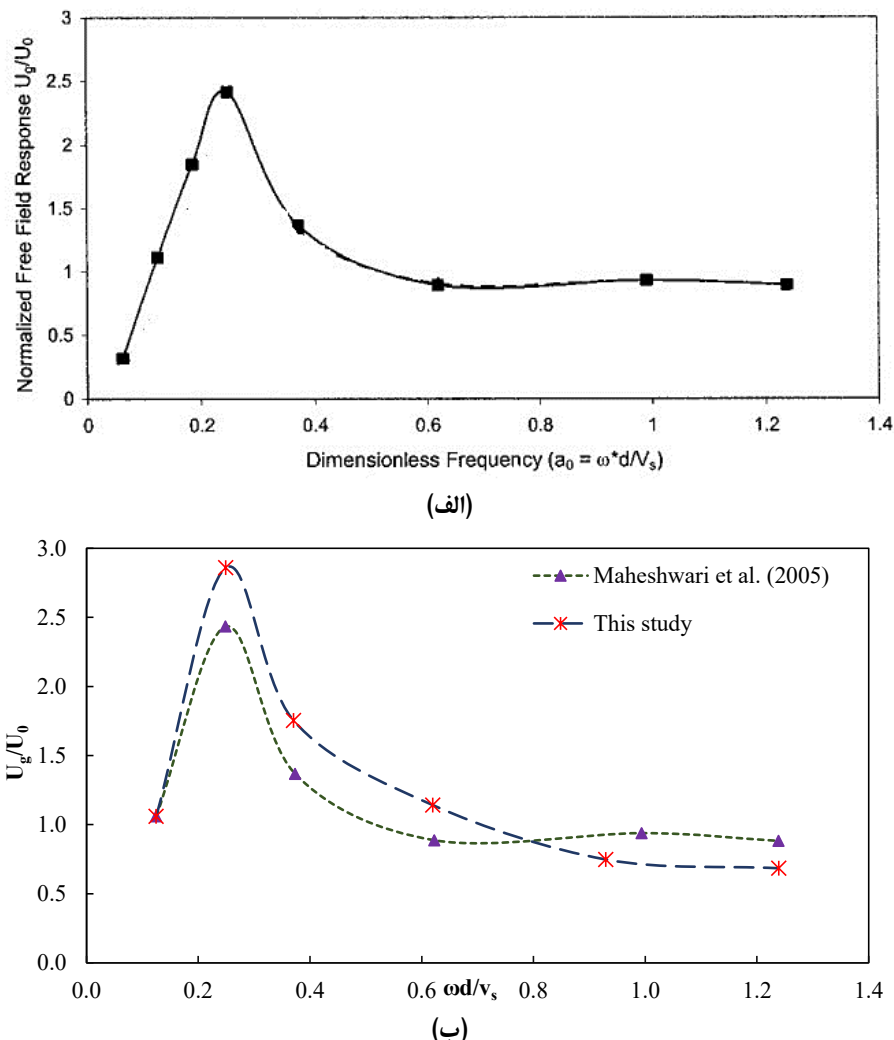
جدول ۳. مشخصات در نظر گرفته شده برای خاک و شمع در آنالیزهای حساسیت‌سنگی

Table 3. Adopted properties for soil and pile for verification analyses

| | |
|-------|--------------------------------------|
| ۱۶/۱ | وزن مخصوص خاک (کیلونیوتن بر مترمکعب) |
| ۱۱/۷۸ | مدول الاستیسیته خاک (مگاپاسکال) |
| ۰/۴۲ | ضریب پواسون خاک |
| ۵٪ | میرایی خاک |
| ۲۴ | چسبندگی خاک (کیلوپاسکال) |
| ۲۴ | وزن مخصوص شمع (کیلونیوتن بر مترمکعب) |
| ۲۵ | مدول الاستیسیته شمع (گیگاپاسکال) |
| ۱۰ | طول شمع (متر) |
| ۰/۵ | قطر شمع (متر) |

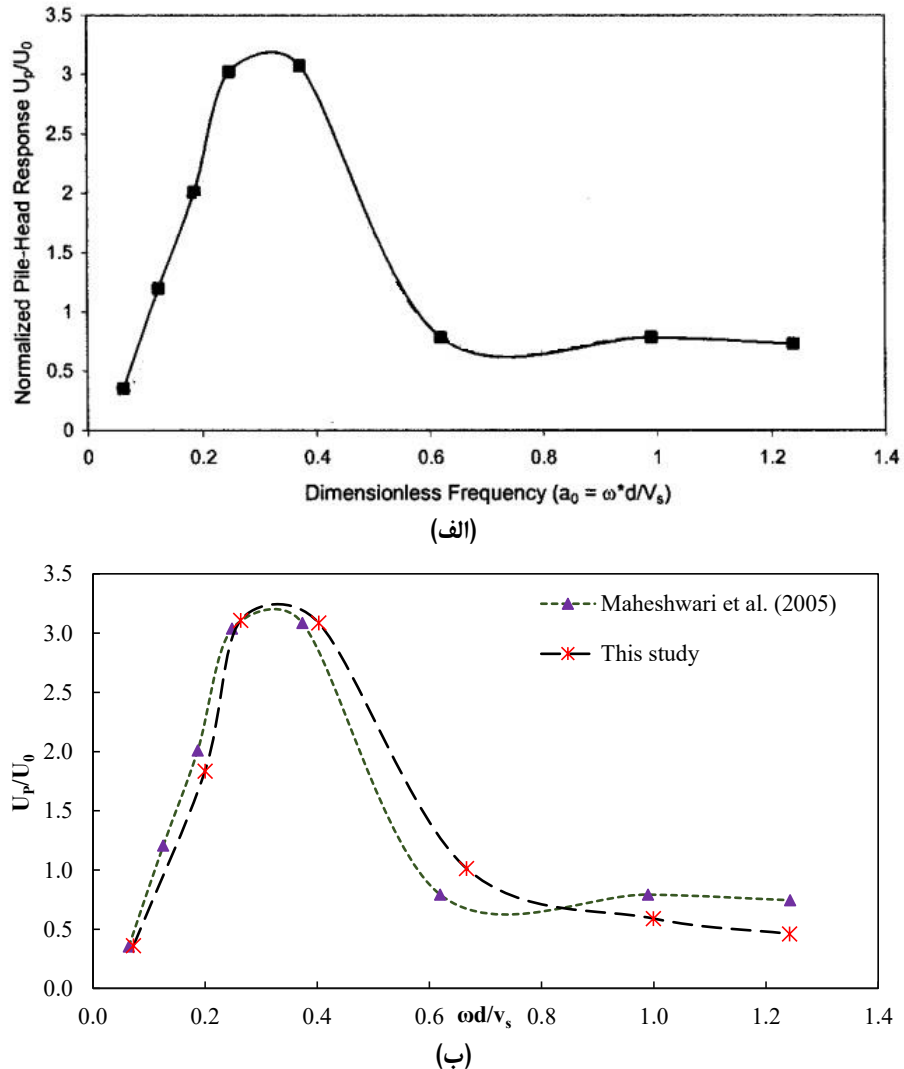
این افزایش ناگهانی ناشی از وقوع پدیده تشیده^۱ در خاک است. همچنین ملاحظه می‌گردد به جز محدوده $\omega d/V_s \sim 0.6 \sim 0.25$ پاسخ سرشمع مشابه پاسخ میدان آزاد است. در این محدوده، که محدوده وقوع پاسخ بیشینه سرشمع و میدان آزاد می‌باشد، مشاهده می‌شود که پاسخ بیشینه سرشمع در فرکانس بدون بعد بزرگ تری رخ می‌دهد. به علاوه ملاحظه می‌گردد که سرشمع در بازه فرکانسی بزرگ‌تری، پاسخ بیشینه را تجربه می‌کند.

در هر دو نمودار U_p/U_0 و U_g/U_0 ، هم در مقادیر و هم در روند تغییرات، تطابق خوبی بین نتایج حاصل از مدل‌سازی عددی صورت گرفته در پژوهش حاضر و نتایج پژوهش ماهشواری و همکاران مشاهده می‌گردد و میانگین اختلاف مشاهده شده در هر دو نمودار U_p/U_0 و U_g/U_0 ، کمتر از ۱۵٪ است. توجه به روند تغییرات در هر دو نمودار، نشان می‌دهد که در فرکانس‌های بدون بعد نسبتاً پایین، یک افزایش ناگهانی در نسبت دامنه جابجایی میدان آزاد و جابجایی سرشمع به دامنه حرکت سنگ بستر مشاهده می‌شود که



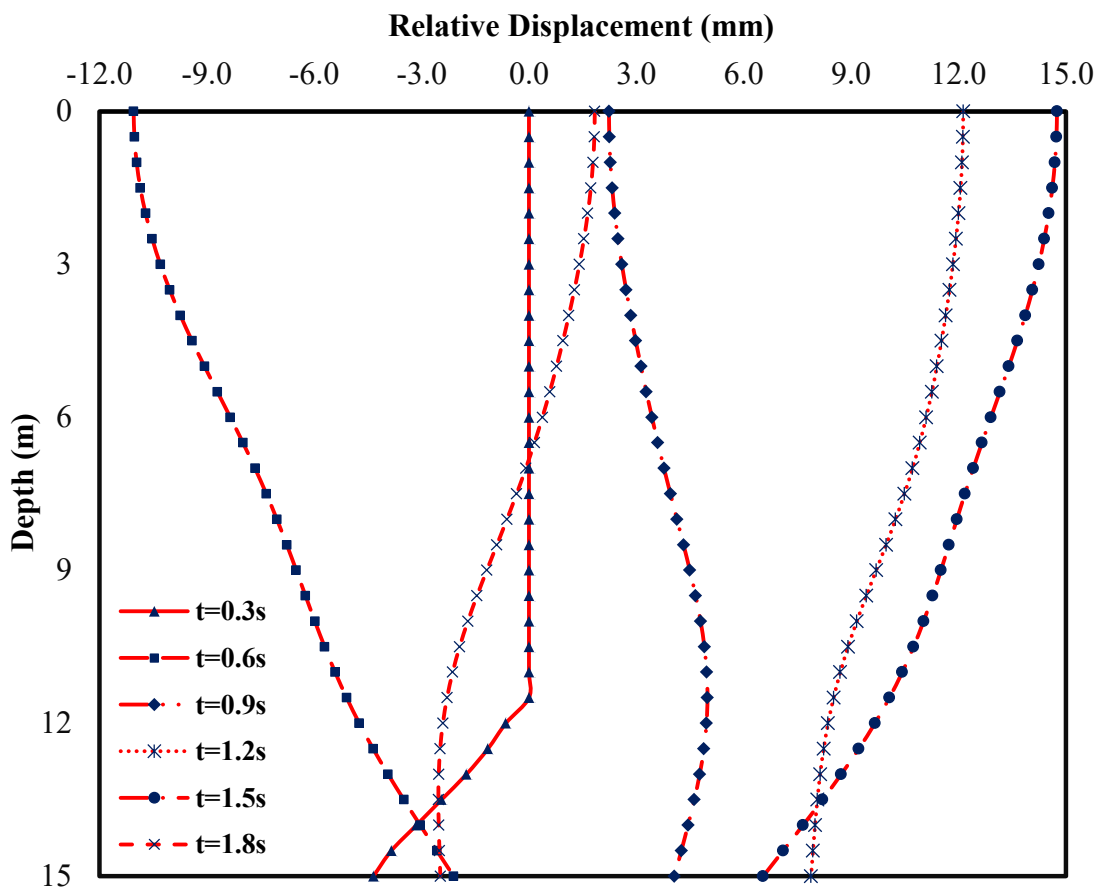
شکل ۴. نسبت پاسخ میدان آزاد به حرکت سنگبستر (الف) نمودار ارائه شده در مقاله مرجع (ماهشواری و همکاران [۲۲])، و (ب) مقایسه نتایج به دست آمده در پژوهش حاضر با نتایج ارائه شده در مقاله مرجع

Fig. 4. Normalized free-field response (a) the graph presented by Maheshwari et al. [22], and (b) comparison of the results obtained in the present study and those presented by Maheshwari et al. [22]



شکل ۵. نسبت جابجایی سریع به حرکت سنگبستر (الف) نمودار ارائه شده در مقاله مرجع (ماهشواری و همکاران [۲۲]), و (ب) مقایسه نتایج به دست آمده در پژوهش حاضر با نتایج ارائه شده در مقاله مرجع

Fig. 5. Normalized pile head response (a) the graph presented by Maheshwari et al. [22], and (b) comparison of the results obtained in the present study and those presented by Maheshwari et al. [22]



شکل ۶. پروفیل جابجایی نسبی شمع با قطر ۵/۰ متر و طول ۱۰ متر نسبت به خاک در زمان‌های متفاوت

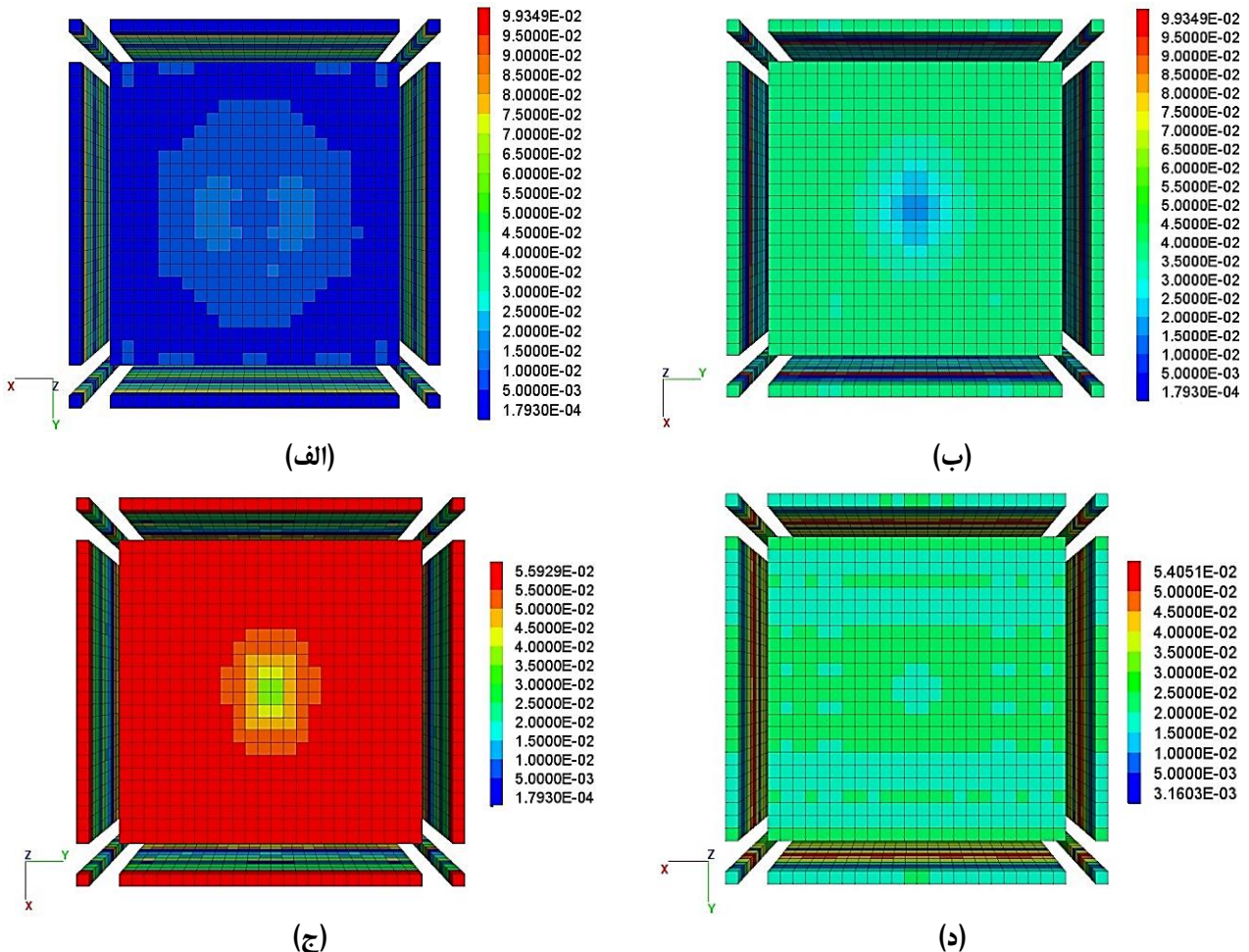
Fig. 6. Profiles of the relative displacement for the pile having $D = 0.5$ m and $L=10$ m in different times

٤ - نتائج

از ۱۱,۰ - میلی متر تا ۱۵,۰ میلی متر می باشد. به عبارت دیگر دامنه جابجایی سرشمع در حدود دو برابر جابجایی نسبی نوک شمع می باشد. دلیل این امر این است که شتاب در هین عبور از لایه خاک تشدید^۱ شده و دامنه آن افزایش می یابد؛ به عبارت دیگر، دامنه شتاب لایه خاک در تراز سرشمع، بزرگ‌تر از دامنه شتاب خاک در تراز نوک شمع است. لذا، دامنه جابجایی افقی خاک و در نتیجه جابجایی نسبی خاک و شمع نیز در تراز سرشمع نسبت به تراز نوک شمع بزرگ‌تر خواهد بود. شکل ۶ نشان می دهد که از لحظه شروع بارگذاری تا زمان $s=0.6$ جابجایی نسبی سرشمع از صفر تا ۱۲,۰ - میلی متر رسیده است، از زمان $s=t=0.6$ تا زمان $s=t=1.5$ جابجایی نسبی سرشمع از ۱۲,۰ - میلی متر تا ۱۵,۰ میلی متر رسیده و از زمان $t=1.5$

در تحقیق حاضر، با انجام آنالیزهای دینامیکی سه بعدی کاملاً غیرخطی در حوزه زمان، مطالعه پارامتریک به منظور بررسی تاثیر قطر و طول شمع بر پاسخ شمع مدفون در خاک رسی به بار لرزه‌ای انجام شد. همان گونه که در جدول ۲ مشاهده می‌گردد، برای قطر شمع‌ها چهار مقدار متفاوت $0/5$ ، $0/8$ و $1/2$ متر و برای طول شمع‌ها سه مقدار متفاوت 10 ، 15 و 20 متر در نظر گرفته شد.

در شکل ۶ پروفیل جابجایی نسبی شمع با قطر $5/0$ متر و طول 15 متر نسبت به خاک در زمان‌های مختلف نشان داده شده است. روند تغییرات جابجایی نسبی شمع با کمک این شکل قابل بررسی است. همانطور که مشاهده می‌شود، محدوده جابجایی نسبی نوک شمع از 4 - 8 میلی‌متر تا 8 - 10 میلی‌متر و محدوده جابجایی نسبی سرمشمع



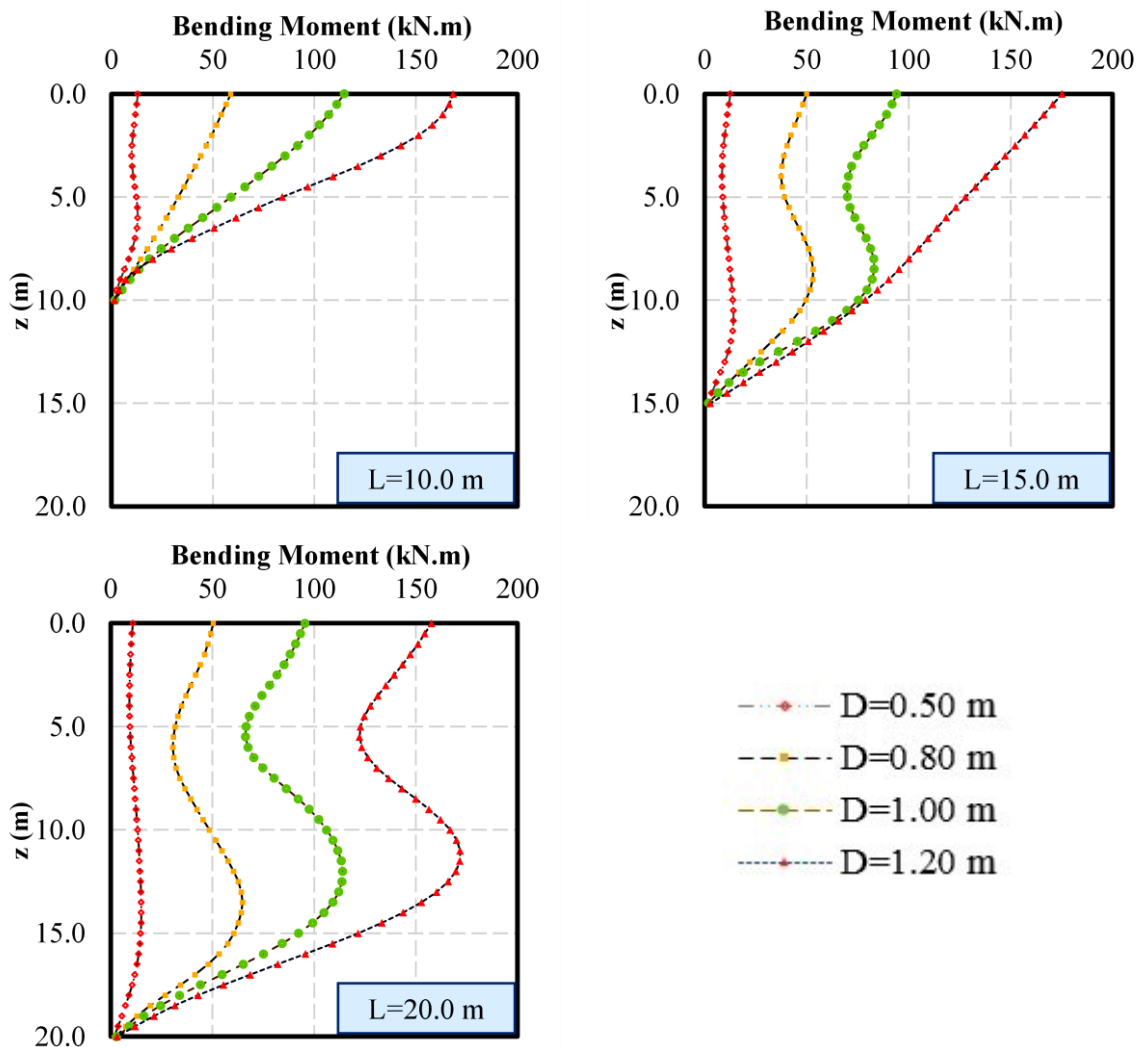
شکل ۷. توزیع کرنش برشی در دامنه مدل برای سیستم خاک-شمغ با قطر 5 m و طول 15 m در انتهای بارگذاری، (الف) تراز سطح زمین، (ب) عمق 5 m از سطح زمین، (ج) عمق 10 m از سطح زمین، و (د) عمق 15 m از سطح زمین (تراز نوک شمغ)

Fig. 7. Shear strain contours in model domain at the end of loading for the case of $D=0.5\text{ m}$ and $L=15\text{ m}$, (a) at the ground surface, (b) at $z=-5.0\text{ m}$, (c) at $z=-10.0\text{ m}$, and (d) at $z=-15.0\text{ m}$ (the level of pile toe)

در محدوده وسط مدل، محل قرارگیری شمغ، با کرنش برشی سایر نواحی متفاوت است. در واقع، شمغ در توزیع کرنش برشی و در نتیجه تنش برشی ناشی از بار لرزه‌ای تاثیر گذاشته و به عبارت دیگر، حضور شمغ منجر به بازتوزیع کرنش برشی در ناحیه اطراف خود شده است. از انجا که پارامتر کلیدی در طراحی لرزه‌ای شمغ‌ها، لنگر خمی ایجاد شده در آن‌هاست، در ادامه، تمرکز اصلی نتایج ارائه شده بر توزیع لنگر خمی در طول شمغ خواهد بود.

5 s تا انتهای بارگذاری در زمان $t=1.8\text{ s}$ جابجایی نسبی سرشمغ از 15.0 m میلی‌متر به حدود 2.0 m میلی‌متر رسیده است. این مقادیر نشان می‌دهند که نرخ جابجایی نسبی بین شمغ و خاک با پیشرفت زمان، افزایش یافته است. هم‌چنین از این شکل قابل ملاحظه است که پروفیل جابجایی نسبی شمغ در زمان‌های مختلف شکل غیرخطی دارد.

شکل ۷، توزیع کرنش برشی در دامنه مدل را برای سیستم خاک-شمغ (شمغ با قطر 5 m و طول 15 m) در انتهای بارگذاری در ترازهای مختلف را نشان می‌دهد. مشاهده می‌شود که در تمام ترازها، کرنش برشی



شکل ۸. تاثیر قطر شمع بر توزیع لنگر خمشی ناشی از بار لرزه‌ای

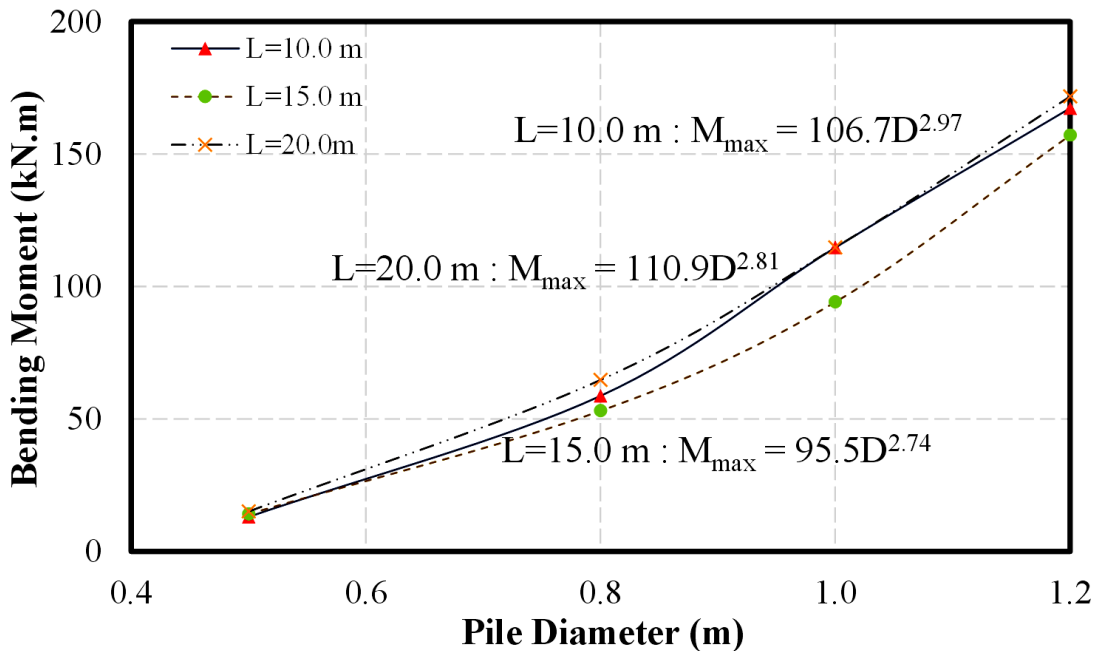
Fig. 8. Effect of pile diameter on the diagram of pile bending moment

افزایش قطر، در دو سوم بالایی طول شمع، قابل توجه تر است.

شکل ۸ نشان می‌دهد که بیشینه لنگر خمشی ایجاد شده در شمع می‌تواند در سر شمع و یا در اعمق میانی شمع رخ دهد که در مورد محل رخداد لنگر خمشی بیشینه در طول شمع، در بخش بعد صحبت خواهد شد. در اینجا تمرکز بر روی مقدار لنگر خمشی بیشینه بدون توجه به محل رخداد آن است. در این رابطه، احمدی و همکاران [۲۴] با بررسی رفتار شمع منفرد در پروفیل خاک یکنواخت و سنایی راد و غلامی‌نژاد [۳۰] با بررسی رفتار شمع در پروفیل خاک دولایه افزایش قابل توجه لنگر خمشی ایجاد شده در شمع تحت بار لرزه‌ای در اثر افزایش قطر شمع را گزارش نمودند.

۴-۱- تاثیر قطر شمع

توزیع پوش لنگر خمشی ایجاد شده در شمع در اثر تحریک اعمال شده با دامنه $g_{\text{و}} = 2.0$ در شکل ۸ نشان داده شده است. این شکل نشان می‌دهد که افزایش قطر شمع، منجر به افزایش لنگر خمشی ایجاد شده در شمع ناشی از بارگذاری لرزه‌ای می‌گردد. دلیل این موضوع را می‌توان در افزایش سختی شمع در اثر افزایش قطر آن دانست. با افزایش سختی شمع، شمع در برابر حرکت خاک مجاور مقاومت بیشتری از خود نشان داده و در نتیجه لنگر خمشی بزرگ‌تری را تجربه می‌کند. شکل ۸ همچنین نشان می‌دهد که اگرچه با افزایش قطر شمع، لنگر خمشی ایجاد شده در تمام طول شمع افزایش می‌یابد، اما برای بیشتر موارد، این افزایش لنگر خمشی ایجاد شده با



شکل ۹. تغییرات لنگر خمی بیشینه ایجاد شده در شمع با قطر شمع

Fig. 9. Variation of the maximum bending moment vs. pile diameter

$$M_{\max} \propto D_{pile}^\kappa \quad (1)$$

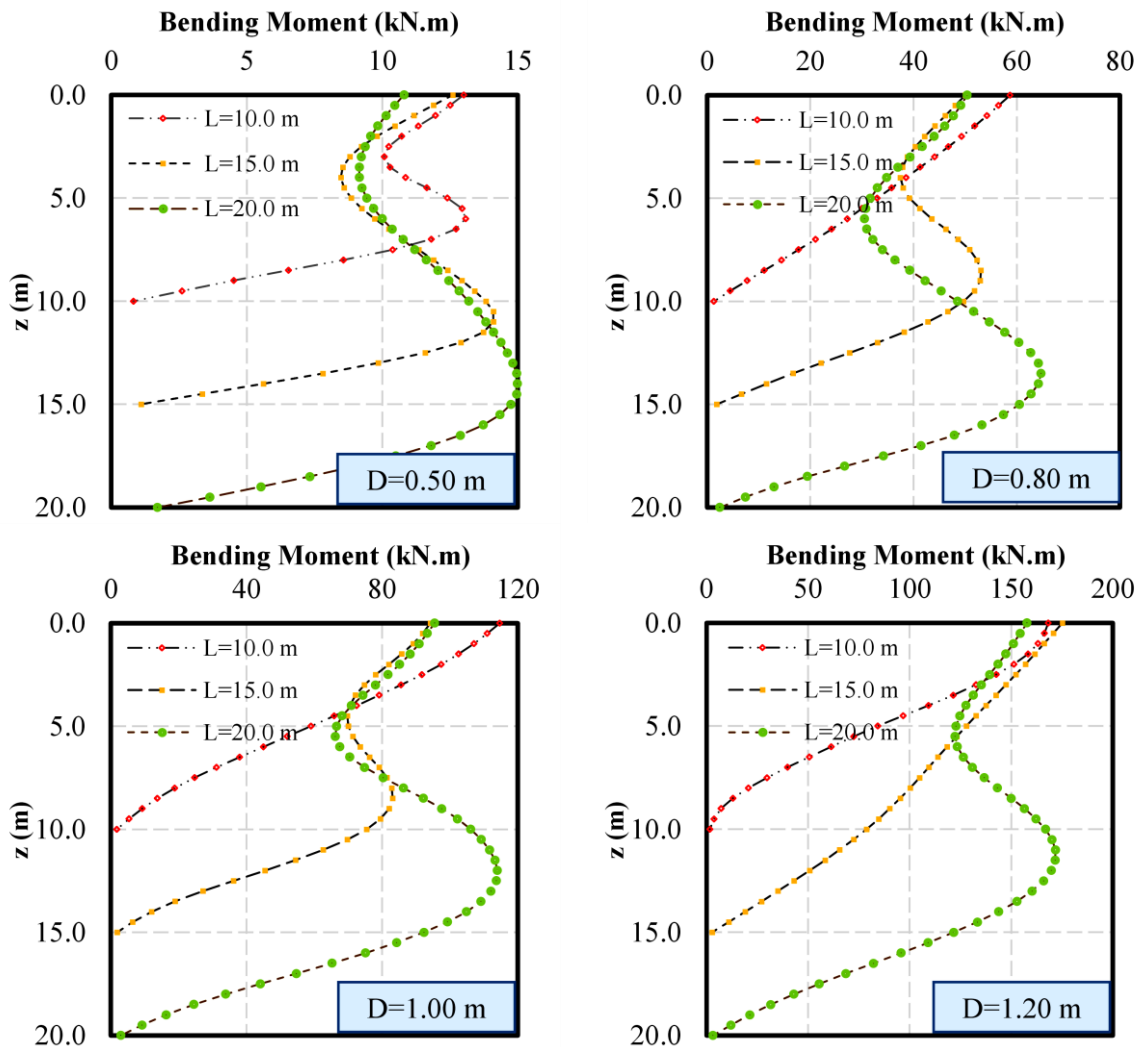
به منظور تعیین κ در رابطه (۱)، نمودار لنگر خمی بیشینه ایجاد شده در شمع بر حسب قطر شمع برای هر سه طول متفاوت شمع رسم شده است. همان گونه که در شکل ۹ مشاهده می‌گردد، مقدار κ ثابت نیست و وابسته به طول شمع، دارای مقادیر متفاوتی در بازه ۲/۷۵ تا ۳/۰۰ می‌باشد. بیشترین مقدار κ مربوط به شمع با طول ۱۰ متر و کمترین مقدار κ مربوط به شمع با طول ۱۵ متر می‌باشد. نتایج این تحقیق همچنین نشان می‌دهد که مقادیر پیشنهاد شده برای κ توسط محققان پیشین که در بند قبلی به آن‌ها اشاره شد، در حد بالای بازه به دست آمده برای κ در تحقیق حاضر قرار دارند؛ اما به طور کلی می‌توان گفت که تطابق مقدار به دست آمده برای κ در این تحقیق با κ حاصل از کار پژوهشگران پیشین قابل قبول است.

نیکولا^۱ و همکاران [۳۱] و مایورانو^۲ و همکاران [۳۲] اندرکنش سینماتیکی بین خاک و شمع را بررسی نموده و به این نتیجه رسیدند که بیشینه لنگر خمی ایجاد شده در شمع تحت بار لرزه‌ای با توان سه قطر شمع افزایش می‌یابند (به عبارت دیگر: $M_{\max} \propto D_{pile}^3$). دی لورا و ماندولینی^۳ نیز با بررسی پاسخ لرزه‌ای شمع در لایه خاک با سختی متغیر، دریافتند که بیشینه لنگر خمی ایجاد شده در شمع‌های مدفون در این لایه‌ها با توان ۳,۲ قطر شمع افزایش می‌یابد [۳۳]. بررسی نتایج حاصل از مدل‌سازی‌های عددی صورت گرفته در پژوهش حاضر نیز، وجود رابطه‌ای قوی بین بیشینه لنگر خمی ایجاد شده در شمع و قطر شمع را تایید می‌نماید. نتایج این پژوهش نیز نشان می‌دهد که افزایش قطر شمع منجر به افزایش بیشینه لنگر خمی ایجاد شده در شمع می‌گردد و این افزایش با توانی از قطر شمع متناسب است؛ به عبارت دیگر:

1 Nikolaou

2 Maiorano

3 Di Laora and Mandolini



شکل ۱۰. تاثیر طول شمع بر توزیع لنگر خمسمی ناشی از بار لرزه‌ای

Fig. 10. Effect of pile length on the diagram of pile bending moment

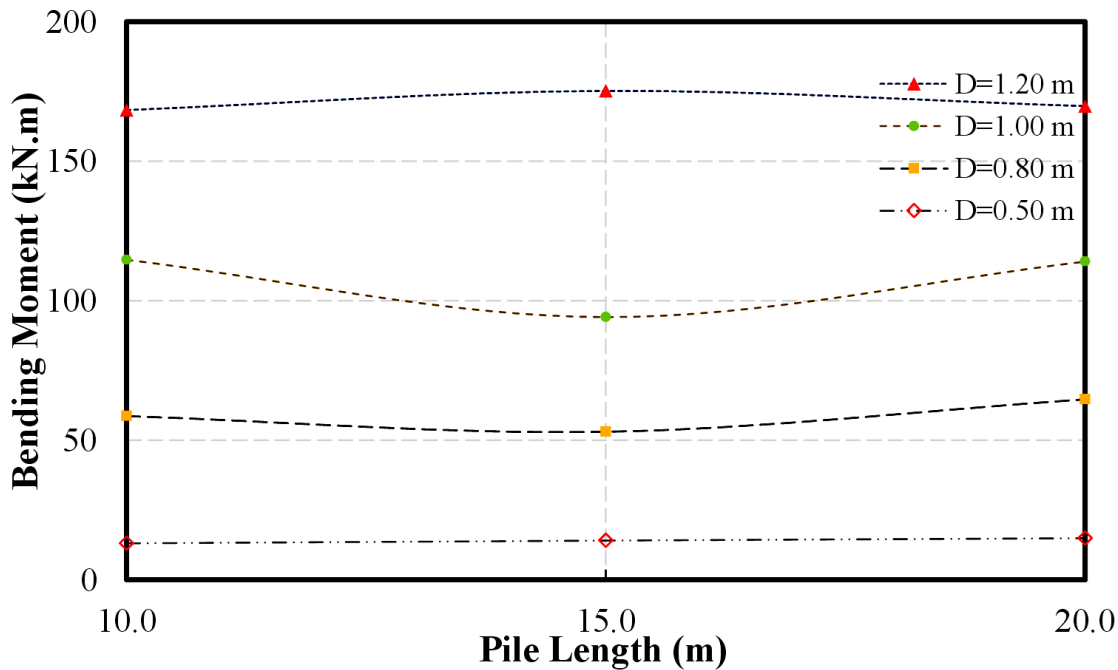
در منحنی S شکل، یک ماقزیموم موضعی^۱ در سرشمع رخ می‌دهد، سپس میزان لنگر خمسمی کاهش می‌یابد تا به یک مینیموم موضعی^۲ در عمق حدود یک سوم طول شمع برسد؛ بعد از این نقطه لنگر خمسمی مجدداً افزایش می‌یابد تا به یک ماقزیموم موضعی در عمق حدود دو سوم طول شمع برسد. در اعمق پایین‌تر از این نقطه، لنگر خمسمی شمع روند کاهشی دارد تا به کمترین میزان خود در نوک شمع برسد. در منحنی یکنواخت، بیشینه لنگر خمسمی در سرشمع رخ می‌دهد و لنگر خمسمی تدریجاً کاهش می‌یابد تا به کمترین میزان خود در نوک شمع برسد.

۴-۲- تاثیر طول شمع

توزیع پوش لنگر خمسمی ایجاد شده در شمع برای شمعهای با طول متفاوت در شکل ۱۰ آمده است. همان‌گونه که در این شکل مشاهده می‌شود، منحنی توزیع لنگر خمسمی در طول شمع می‌تواند به دو شکل متفاوت طبقه‌بندی گردد. منحنی‌های "S شکل" و منحنی‌های "یکنواخت". برای مثال در شکل ۱۰ در نمودار توزیع لنگر خمسمی برای شمعهای با قطر $1/2$ متر ($D=1.20\text{ m}$)، دیاگرام‌های توزیع لنگر مربوط به شمعهای با طول 10 متر و 15 متر، یکنواخت و دیاگرام توزیع لنگر مربوط به شمع با طول 20 متر، S شکل است.

1 Local Maximum

2 Local Minimum



شکل ۱۱. تغییرات لنگر خمثی بیشینه ایجاد شده در شمع با طول شمع

Fig. 11. Variation of the maximum bending moment vs. pile diameter

شکل ۸ و شکل ۱۰ نشان می‌دهند که شکل دیاگرام توزیع لنگر خمثی، هم به طول شمع و هم به قطر آن بستگی دارد. بنابراین به منظور پیش‌بینی شکل دیاگرام توزیع لنگر خمثی، پارامتر جدیدی که هم شامل طول شمع و هم شامل قطر شمع باشد، مورد نیاز است. این پارامتر به صورت نسبت طول به قطر شمع، L/D ، تعریف می‌گردد. مقایسه مقدار پارامتر L/D برای شمع‌های مختلفی که در این مطالعه مورد آنالیز قرار گرفتند، نشان می‌دهد که دیاگرام توزیع لنگر در شمع‌هایی که نسبت L/D آن‌ها کمتر از $12/5$ باشد، به صورت یکنواخت و در شمع‌هایی که نسبت L/D آن‌ها بیشتر از $12/5$ باشد، به صورت S شکل خواهد بود.

تأثیر طول شمع بر مقدار بیشینه لنگر خمثی ایجاد شده در شمع در شکل ۱۱ بررسی شده است. این شکل نشان می‌دهد که در محدوده طول‌های مورد بررسی در این پژوهش، یعنی طول‌های 10 الی 20 متر، طول شمع تاثیر چندان قابل توجهی بر مقدار بیشینه لنگر خمثی ایجاد شده ندارد و تاثیر طول شمع بر مقدار ماکریم لنگر خمثی ایجاد شده در شمع، کمتر از 15% است. شکل ۱۱ همچنین نشان می‌دهد که روند این تغییر اندک لنگر خمثی بیشینه با طول شمع هم، وابسته به قطر شمع، متفاوت است. برای شمع با قطر $5/۵$ متر، با افزایش طول شمع، لنگر خمثی اندکی افزایش می‌یابد.

شکل ۱۰ نشان می‌دهد که برای شمع با قطر $5/5$ متر، دیاگرام توزیع لنگر برای هر سه طول مختلف شمع به صورت S شکل است. برای شمع‌های با قطر $8/8$ متر و $10/10$ متر، دیاگرام توزیع لنگر برای شمع‌های با طول 15 متر و 20 متر به صورت S شکل و برای شمع به طول 10 متر به صورت یکنواخت است. برای شمع به قطر $1/2$ متر، دیاگرام توزیع لنگر برای شمع به طول 20 متر به صورت S شکل و برای شمع‌های با طول 10 متر و 15 متر به صورت یکنواخت است.

برای تمام شمع‌ها لنگر خمثی مینیمم در نوک شمع^۱ رخ می‌دهد؛ زیرا شمع‌ها اتکایی^۲ نبوده و شناور هستند. شکل ۱۰ همچنین نشان می‌دهد که طول شمع تاثیر قابل توجهی بر موقعیت رخداد بیشینه لنگر خمثی در شمع دارد. لنگر خمثی ماکریم برای شمع‌هایی که دیاگرام توزیع لنگر خمثی در آن‌ها شکل یکنواخت دارد، در سر شمع رخ می‌دهد. اما برای شمع‌هایی که نمودار توزیع لنگر خمثی در آن‌ها به صورت S شکل است، لنگر خمثی ماکریم در عمق حدود دو سوم طول شمع رخ می‌دهد. تنها استثنای در این مورد، شمع با قطر $10/10$ متر و طول 15 متر است که علی‌رغم S شکل بودن دیاگرام توزیع لنگر خمثی، ماکریم لنگر خمثی در سر شمع رخ داده است.

1 Pile End

2 End Bearing

مکان رخداد لنگر خمثی بیشینه دارد.

➤ منحنی توزیع لنگر خمثی در طول شمع می‌تواند به دو شکل متفاوت طبقه‌بندی گردد. دیاگرام توزیع لنگر در شمع‌هایی که نسبت طول به قطر آن‌ها کمتر از $12/5$ باشد، به صورت یکنواخت و در شمع‌هایی که نسبت طول به قطر آن‌ها بیشتر از $12/5$ باشد، به صورت S شکل خواهد بود.

منابع

- [1] K. Tokimatsu, H. Suzuki, M. Sato, Effects of inertial and kinematic interaction on seismic behavior of pile with embedded foundation, *Soil Dynamics and Earthquake Engineering*, 25 (2005) 753–762.
- [2] L. De Sanctis, R. M. S. Maiorano, S. Aversa, A method for assessing kinematic bending moments at the pile head, *Earthquake Engineering and Structural Dynamics*, 39(10) (2010) 1133–1154.
- [3] A. Asadi, M. Sharifipour, K. Ghorbani, Numerical Simulation of Piles Subjected to Lateral Spreading and Comparison with Shaking Table Results, *Civil Engineering Infrastructures Journal*, 50(2) (2017) 277-292.
- [4] G. A. L. Jiménez, D. Dias, O. Jenck, Effect of the soil–pile–structure interaction in seismic analysis: case of liquefiable soils, *Acta Geotechnica*, 14(5) (2019) 1509–1525.
- [5] K. Chatterjee, D. Choudhury, V. D. Rao, H. G. Poulos, Seismic response of single piles in liquefiable soil considering P-delta effect, *Bulletin of Earthquake Engineering*, 17(6) (2019) 2935-2961.
- [6] D. Forcellini, Numerical simulations of liquefaction on an ordinary building during Italian (20 May 2012) earthquake, *Bulletin of Earthquake Engineering*, 17(9) (2019) 4797-4823.
- [7] Y. Wang, R. P. Orense, Numerical analysis of seismic performance of inclined piles in liquefiable sands, *Soil Dynamics and Earthquake Engineering*, 139 (2020): 106274.
- [8] A. Kavand, A. Sadeghi Meibodi, 3-Dimensional Numerical Modelling of Pile Group Response to Liquefaction-induced Lateral Spreading, *Amirkabir*

برای شمع با قطر $8/0$ متر و $10/0$ متر، لنگر خمثی بیشینه با افزایش طول شمع اندکی کاهش و سپس اندکی افزایش می‌یابند و برای شمع با قطر $12/0$ متر، لنگر خمثی بیشینه با افزایش طول شمع اندکی افزایش و سپس اندکی کاهش می‌یابد.

تأثیر طول شمع بر مقدار بیشینه لنگر خمثی ایجاد شده در شمع، تنها در تعداد اندکی از مطالعات پیشین مورد بررسی قرار گرفته است. نیکولا و همکاران [۳۱] و کواداس و گزتاس^۱ [۳۴] با استفاده از روش BDWF رفتار لرزه‌ای شمع مدفون در خاک دولایه را بررسی نمودند. نتایج تحقیق آن‌ها نشان داد که افزایش طول شمع منجر به افزایش لنگر خمثی بیشینه ایجاد شده در شمع می‌گردد. به عبارت دیگر، نتیجه به دست آمده در پژوهش حاضر، با نتیجه به دست آمده توسط آنان متفاوت است. دلیل این تفاوت می‌تواند در متفاوت بودن پروفیل در نظر گرفته شده برای خاک در این پژوهش‌ها و یا تفاوت در نحوه شبیه‌سازی محیط خاک باشد.

۵- نتیجه‌گیری

در مطالعه حاضر، با انجام مدل‌سازی‌های عددی کاملاً غیرخطی سه‌بعدی در حوزه زمان، پاسخ شمع منفرد مدفون در خاک رسی به بارگذاری لرزه‌ای مورد بررسی قرار گرفته و مطالعه پارامتریک برای ارزیابی تاثیر مشخصات هندسی شمع بر پاسخ لرزه‌ای آن صورت گرفت. برای انجام مدل‌سازی‌ها نرم‌افزار FLAC^{3D} مورد استفاده قرار گرفت. به منظور شبیه‌سازی هرچه دقیق‌تر مساله، مقاومت و سختی لایه خاک به صورت متغیر با عمق در نظر گرفته شد. همچنین رفتار غیرخطی خاک با اعمال مدل رفتاری الاستوپلاستیک و نیز در نظر گرفتن میرایی هیسترتیک محیط خاک با کاهش مدول برشی خاک با افزایش کرنش برشی شبیه‌سازی شد. از تحلیل نتایج حاصل از مدل‌سازی‌های عددی صورت گرفته در این تحقیق، موارد زیر نتیجه‌گیری می‌گردد:

➤ افزایش قطر شمع منجر به افزایش بیشینه لنگر خمثی ایجاد شده در شمع می‌گردد. این افزایش بیشینه لنگر خمثی با توانی از قطر شمع متناسب است. در این رابطه، توان قطر شمع عدد ثابتی نیست و وابسته به طول شمع از $2/75$ تا $3/00$ متر متفاوت است.

➤ در محدوده طول شمع مورد بررسی در این پژوهش، تاثیر طول شمع بر مقدار لنگر خمثی بیشینه ایجاد شده در شمع چندان قابل توجه نیست و کمتر از 15% می‌باشد؛ اما طول شمع تاثیر بسیار قابل توجهی در

- Seismic fragility assessment of large-scale pile-supported wharf structures considering soil-pile interaction, *Engineering Structures*, 186 (2019) 270-281.
- [20] K. J. Bentley, M. H. El Naggar, Numerical analysis of kinematic response of single piles, *Canadian Geotechnical Journal*, 37 (2000) 1368–1382.
- [21] Y. Cai, P. Gould, C. Desai, Nonlinear analysis of 3D seismic interaction of soil–pile–structure systems and application, *Engineering Structures*, 22(10) (2000) 191–199.
- [22] B. K. Maheshwari, K. Z. Truman, P. L. Gould, M. H. El Naggar, Three-dimensional nonlinear seismic analysis of single piles using finite element model: effects of plasticity of soil, *International Journal of Geomechanics*, 5(1) (2005) 35-44.
- [23] B. K. Maheshwari, K. Z. Truman, M. H. El Naggar, P. L. Gould, Three-dimensional finite element nonlinear dynamic analysis of pile groups for lateral transient and seismic excitations, *Canadian Geotechnical Journal*, 41(1) (2004) 118-133.
- [24] M. M. Ahmadi, M. Mashinchian, S. Hadei, Parametric Study of Kinematic Interaction in Pile-Cohesive Soil under Dynamic Loads, *Amirkabir Journal of Civil Engineering*, 53(7) (2021) 2765-2780.
- [25] Itasca, FLAC3D (Fast Lagrangian Analysis of Continua in 3 Dimensions), Version 3.0, Itasca Consulting Group, 2002, Minneapolis, Minnesota, USA.
- [26] J. E. Bowles, *Foundation Analysis and Design*, McGraw-Hill, 1996, New York, USA.
- [27] M. Mucciacciaro, S. Sica, Nonlinear soil and pile behaviour on kinematic bending response of flexible piles, *Soil Dynamics and Earthquake Engineering*, 107 (2018) 195-213.
- [28] J. Sun, R. Golesorkhi, H. B. Seed, Dynamic moduli and damping ratio for cohesive soils, 1988, University of California Berkeley-Earthquake Engineering Research Center.
- [29] S. L. Kramer, *Geotechnical Earthquake Engineering*, Prentice-Hall, 1996, Upper Saddle River, New Jersey, USA.
- Journal of Civil Engineering, 52(5) (2020) 1061-1078.
- [9] H. R. Saba, M. Salehi, M. Baniasadi, Effect of the Pile & Cap Connection Type in Liquefiable Sand, *Amirkabir Journal of Civil Engineering*, 53(1) (2021) 411-418.
- [10] A. Asgari, F. Ranjbar, H. Akbarzadeh Bengar, Using Pile Group to Mitigate Lateral Spreading in Uniform and Stratified Liquefiable Sand Strata: Three-Dimensional Numerical Simulation, *Amirkabir Journal of Civil Engineering*, 53(7) (2021) 3067-3086.
- [11] K. B. Ladhane, V. A. Sawant, Effect of pile group configurations on nonlinear dynamic response, *International Journal of Geomechanics*, 16(1) (2016): 04015013.
- [12] F. Dezi, H. Poulos, Kinematic bending moments in square pile groups, *International Journal of Geomechanics*, 17(3) (2017): 04016066.
- [13] R. Saha, S. C. Dutta, S. Haldar, S. Kumar, Effect of soil-pile raft-structure interaction on elastic and inelastic seismic behavior, *Structures*, 26 (2020) 378-395.
- [14] J. Wu, K. Wang, M. H. El Naggar, Dynamic soil reactions around pile-fictitious soil pile coupled model and its application in parallel seismic method, *Computers and Geotechnics*, 110 (2019) 44-56.
- [15] M. Zhang, C. Zhao, C. Xu, Lateral dynamic response of pile group embedded in unsaturated soil, *Soil Dynamics and Earthquake Engineering*, 142 (2021): 106559.
- [16] P. Wang, Y. Xu, X. Zhang, A substructure method for seismic responses of offshore wind turbine considering nonlinear pile-soil dynamic interaction, *Soil Dynamics and Earthquake Engineering*, 144 (2021): 106684.
- [17] Y. Huang, P. Wang, M. Zhao, C. Zhang, X. Du, Dynamic responses of an end-bearing pile subjected to horizontal earthquakes considering water-pile-soil interactions, *Ocean Engineering*, 238 (2021): 109726.
- [18] A. S. Hokmabadi, B. Fatahi, B. Samali, Assessment of soil–pile–structure interaction influencing seismic response of mid-rise buildings sitting on floating pile foundations, *Computers and Geotechnics*, 55 (2014) 172-186.
- [19] L. Su, H. P. Wan, Y. Dong, D. M. Frangopol, X. Z. Ling,

- seismic excitation, Canadian Geotechnical Journal, 46(5) (2009) 571-584.
- [33] G. Mylonakis, R. Di Laora, A. Mandolini, The role of pile diameter on earthquake-induced bending, Perspectives on European Earthquake Engineering, Springer, 2014, 533-556.
- [34] M. Kavvadas, G. Gazetas, Kinematic seismic response and bending of free-head piles in layered soil, Geotechnique, 43(2) (1993) 207-222.
-]30[A. Sanaeirad, A. Gholaminejad, Factors effecting the kinematic bending moment in the piles group, Sharif Journal of Civil Engineering, 32.2(3.2) (2016) 85-94 (in Persian).
- [31] S. Nikolaou, G. Mylonakis, G. Gazetas, T. Tazoh, Kinematic pile bending during earthquakes: analysis and field measurements, Geotechnique , 51(5) (2001) 425-440.
- [32] R. M. S. Maiorano, L. De Sanctis, S. Aversa, A. Mandolini, Kinematic response analysis of piled foundations under

چگونه به این مقاله ارجاع دهیم

S. Hadei, M. M. Ahmadi, Nonlinear Three-Dimensional Numerical Study of Pile Seismic Behavior: Effect of Pile Geometrical Parameters, Amirkabir J. Civil Eng., 55(9) (2023) 1863-1882.

DOI: [10.22060/ceej.2023.21398.7715](https://doi.org/10.22060/ceej.2023.21398.7715)

